Доклады Академии наук СССР 1958. Том 122, № 1

ФИЗИЧЕСКАЯ ХИМИЯ

Г. М. БУДОВ и В. В. ЛОСЕВ

ИЗУЧЕНИЕ ЭЛЕКТРОДНЫХ ПРОЦЕССОВ НА АМАЛЬГАМЕ ЦИНКА МЕТОДОМ РАДИОАКТИВНЫХ ИНДИКАТОРОВ

(Представлено академиком А. Н. Фрумкиным 30 IV 1958)

Основная трудность, с которой приходится сталкиваться при изучении процессов анодного растворения и электроосаждения металлов, связана с тем, что для многих металлов скорость собственно электрохимической стадии, а именно стадии разряда — ионизации реагирующих частиц, настолько велика, что в обычных условиях скорость всего процесса, как правило, лимитируется стадией переноса реагирующих частиц к поверхности электрода или продуктов реакции от электрода. Естественно, что снятые в этих условиях стационарные поляризационные кривые не отражают непосредственно кинетических закономерностей стадии ионизации и разряда. Поэтому для изучения механизма быстрых электродных процессов особое значение приобретает измерение одного из важных параметров, характеризующих стадию ионизации и разряда, а именно тока обмена, в таких условиях, когда можно исключить влияние всех других стадий, кроме собственно электрохимической, на кинетику электродного процесса. Рассмотрим кинетические закономерности процессов ионизации и разряда на примере реакции анодного растворения амальгамы металла в растворе, содержащем простые ионы того же металла: Ме $\to Me^{n^+} + ne$. На основании теории замедленного разряда (1) зависимость плотности тока от потенциала при анодной поляризации выражается уравнением*

$$i = k'C_a e^{\beta F\varphi|RT} - k''C_p e^{-\alpha F\varphi|RT}, \tag{1}$$

где $C_{\rm a}$ и $C_{\rm p}$ — объемные концентрации амальгамы и раствора, α и β — коэффициенты переноса, причем принято $\alpha+\beta=n$. При равновесном потенциале $\phi_{\rm p}$ скорости анодного и катодного процессов равны току обмена:

$$i_0 = k' C_a e^{\beta F \varphi_p | RT} = k'' C_p e^{-\alpha F \varphi_p | RT}. \tag{2}$$

Если учесть отличие концентраций у поверхности от соответствующих объемных значений при больших i, получаем из уравнений (1) и (2):

$$i = i_0 \left[(1 - i/i_d^{a}) e^{\beta F \Delta \varphi / RT} - (1 + i/i_d^{k}) e^{-\alpha F \Delta \varphi / RT} \right], \tag{3}$$

где i_d^a и i_d^k — анодный и катодный предельные токи, $\Delta \varphi = \varphi - \varphi_p$. Путем сочетания (2) с уравнением Нернста нетрудно получить выражение для зависимости тока обмена от концентраций амальгамы и раствора **

$$i_0 = kC_a^{\alpha/n} \cdot C_p^{\beta/n} \cdot \tag{4}$$

Как видно из (4), путем измерения i_0 при различных концентрациях амальгамы и раствора можно найти характеризующие замедленную стадию коэф-

^{*} Принято допущение, что суммарная электродная реакция состоит из ряда последовательных одноэлектронных стадий, причем наиболее медленная из этих стадий лимитирует скорость всей реакции $(^2,^3)$. Предполагается также, что в растворе присутствует избыток индифферентного электролита, и, следовательно, можно не учитывать наличия ψ_1 -потенциала $(^1)$ и считать коэффициенты активности ионов металла постоянными.

^{**} Уравнение такого типа было впервые получено для реакции разряда ионов водорода и ионизации атомов водорода (1). Уравнение (4) отличается от обычно применяемых выражений для зависимости тока обмена от концентраций амальгамы и раствора (4,5) тем, что последние выведены в предположении, что замедленной стадией электродного процесса является одновременное отщепление n электронов и принята нормировка $\alpha + \beta = 1$, тогда как в приведенном выше выводе принято $\alpha + \beta = n$. Нетрудно убедиться, что физический смысл коэффициентов α и β в обоих случаях неодинаков (2,3).

фициенты α и β , которые в случае быстрого электродного процесса не могут быть определены непосредственно из обычных поляризационных кривых. Кроме того, определение параметров i_0 , α и β , в сочетании с измерением предельных токов, позволяет рассчитать полную поляризационную кривую, выражаемую уравнением (3), которое учитывает не только медленность стадии разряда — ионизации, но и концентрационную поляризацию.

Для измерения токов обмена на амальгамных электродах наряду с различными нестационарными методами (переменноточный $(^4,^{6-8})$ гальваностатический $(^9,^{10})$ и потенциостатический $(^{11},^{12})$) применяется также метод радиоактивных индикаторов $(^{13},^{14})$. Последний метод отличается тем, что измерения тока обмена производятся в условиях, максимально приближенных к равновесным*.

Целью настоящей работы является измерение токов обмена на амальгаме цинка методом радиоактивных индикаторов в сочетании с поляризационными измерениями и определением анодного и катодного предельных токов. Такое сочетание дает возможность четко выделить тот интервал концентраций амальгамы и раствора, в котором скорость обмена лимитируется стадией разряда — ионизации, а не диффузией радиоактивных частиц, и, кроме того, позволяет сопоставить экспериментальные поляризационные кривые с рассчитанными по уравнению (3) с использованием параметров i_0 , α , β и i_d , определенных в идентичных экспериментальных условиях.

Нами была использована описанная ранее методика (2) с некоторыми усовершенствованиями **. Измерения тока обмена проводились в атмосфере азота при 25° С в интервале концентраций амальгамы 0,00008-0,97~M, в растворах $0,0001-0,20~M~ZnSO_4$, подкисленных H_2SO_4 (0,005~M), с добавкой MgSO $_4$ для сохранения постоянной ионной силы (2~M). Предварительные измерения показали, что ток обмена в широкой области концентраций $ZnSO_4$ (0,01-0,20~M) мало зависит от числа оборотов меналки (200-500~o6/мин). Наблюдавшееся при увеличении скорости перемешивания небольшое увеличение тока обмена обусловлено, по-видимому, возрастанием поверхности амальгамы. Все опыты были проведены при скорости перемешивания 400~o6/мин.

Результаты измерений тока обмена, а также анодного и катодного предельных токов представлены на рис. 1 и 2. Наклоны прямых $\lg i_d^{\mathrm{a}} - \lg C_{\mathrm{a}}$ и $1gi_d^R - 1gC_p$ равны соответственно 0,96 и 0,97, т. е. предельные токи прямо пропорциональны соответствующим концентрациям. Как видно из рис. 1 и 2, кривые $\lg i_0 - \lg C_a$ и $\lg i_0 - \lg C_p$ состоят из двух участков с различными наклонами, причем в области низких концентраций коэффициенблизки к единице, и соответствующие участки паралнаклона лельны прямым для предельных токов. По-видимому, в этой области концентраций скорость перехода радиоактивных частиц в раствор лимитируется не стадией разряда—ионизации, а диффузией этих частиц и соответствующие опытные значения i_0 занижены по сравнению с истинными токами обмена. При более высоких концентрациях наблюдается более медленный рост тока обмена с концентрацией: при увеличении концентрации ${
m ZnSO_4}$ от 0.01 до $0.20\,$ M (при $C_a=0.13\,$ M) ток обмена возрастает от $2.8\,$ до 22,5 ма/см²; при увеличении концентрации амальгамы от 0,013

^{*} Конечно, в случае очень высоких токов обмена даже при интенсивном перемешивании амальгамы и раствора может нарушиться равномерное распределение радиоактивных частиц в обеих фазах, которое является основным условием правильного измерения тока обмена; при этом может оказаться, что измеряемая на опыте скорость перехода радиоактивных частиц через поверхность раздела фаз будет определяться скоростью диффузии этих частиц внутри одной из фаз (14).

** В ячейку была введена стеклянная магнитная мешалка пропеллерного

^{**} В ячейку была введена стеклянная магнитная мешалка пропеллерного типа для перемешивания амальгамы и раствора, а также бюретка с приспособлением для предварительного насыщения азотом добавляемых порций раствора. С одной порцией амальгамы, меченной радиоактивным изотопом Zn⁶⁵, можно было измерять несколько значений токов обмена, отвечающих различным концентрациям раствора или различным температурам.

до 0,970 M (при $C_{\rm p}=0.025~M$) ток обмена возрастает от 2,9 до 8,3 ма/см². В этой области концентраций из наклонов прямых $\lg i_0-\lg C_{\rm a}$ и $\lg i_0-\lg C_{\rm p}$ по уравнению (4) нами найдены коэффициенты $\alpha=0.52\pm0.04$ и $\beta=1.40\pm0.05$.

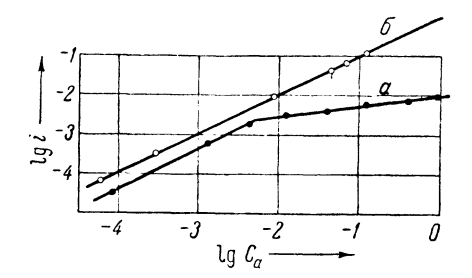


Рис. 1. Зависимость тока обмена (a) и анодного предельного тока (b) от концентрации амальгамы при концентрации $C_{\rm p} = 0.025~M~{\rm ZnSO_4}$

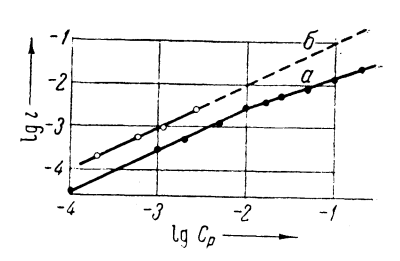


Рис. 2. Зависимость тока обмена (a) и катодного предельного тока (b) от концентрации ZnSO $_4$ при концентрации $C_a=0$,13 M Zn

Полученные нами значения токов обмена удовлетворительно согласуются с данными В. А. Плескова и Н. Б. Миллер (13), однако несколько ниже величин, найденных другими авторами при помощи нестационарных методов (4 , 6 , 9 , 10 , 11)*. Значения коэф-

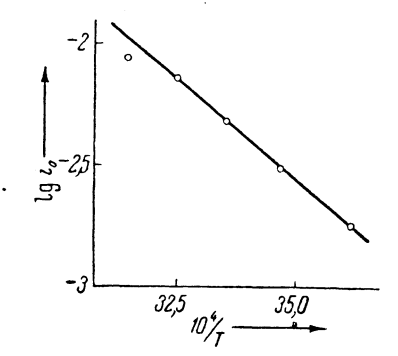


Рис. 3. Зависимость тока обмена от температуры при $C_{\rm p}{=}0,025~M{\rm ZnSO_4}$ и $C_{\rm a}=0.13~M~{\rm Zn}$

нарных методов (4 , 6 , 6 , 6 , 10 , 11)*. Значения коэффициентов переноса 4 и 6 хорошо согласуются с данными Геришера (4). Близость суммы экспериментальных значений 4 и 6 к 2 , а также независимость величины 1 0 от скорости перемешивания раствора свидетельствуют о том, что в этой области концентраций скорость обмена лимитируется стадией разряда — ионизации, а не диффузией радиоактивных частиц. Этот вывод подтверждается результатами изучения температурной зависимости тока обмена для двух концентраций амальгамы (при 6 0, 6 0, соответствующих разным участкам кривой 6 1 6 2 (рис. 1). На рис. З изображена зависимость 6 3 6 5 Выпрямой энергия активации составляет

численная из наклона этой прямой энергия активации составляет 7,4 ккал, тогда как для концентрации $C_a=0,00013\ M$, соответствующей диффузионной области, энергия активации составляет примерно 5 ккал.

Наряду с измерениями тока обмена мы снимали в этой же ячейке и при том же режиме перемешивания поляризационные кривые. На рис. 4 результаты этих измерений представлены в виде кружков и крестиков и кроме того нанесены соответствующие этим концентрациям токи обмена **; сплошными линиями нанесены теоретические поляризационные кривые, рассчитанные по уравнению (3) с использованием найденных нами значений i_0 , коэффициентов α и β , а также предельных токов ***. Как видно из рис. 4, экспериментальные точки хорошо совпадают с теоретическими кривыми.

$$i = i_d^a \frac{e^{\beta F \Delta \varphi / RT} - e^{-\alpha F \Delta \varphi / RT}}{i_d^a / i_0 + e^{\beta F \Delta \varphi / RT}} . \tag{5}$$

^{*} Возможно, что эти расхождения обусловлены различиями в анионном составе и ионной силе применявшихся растворов.

^{**} Значения i_0 , отвечающие разбавленным амальгамам, определены экстраполяцией того участка кривой $\lg i_0 - \lg C_a$ (рис. 1), который отвечает кинетической области.

*** Для расчета анодных кривых было использовано приближенное уравнение, полученное из уравнения (3):

Это является дополнительным подтверждением того, что использованные при расчетах величины i_0 , α и β (найденные независимым радиохимическим методом) являются достоверными, т. е. действительно характеризуют стадию разряда — ионизации, и не искажены в заметной степени диффузионными эффектами.

Анализ уравнения (5) для анодных поляризационных кривых показыва-

ет, что в случае кривой $\it 3$ $i_d^a/i_0 \sim 0,1$ и первый член знаменателе мал сравнению co вторым (скорость анодного процесса лимитируется диффузией), тогда как для кривой $1 i_d^a/i_0 \sim 10$ и при не очень высоких $\Delta \varphi$ моотбросить второй ЖНО член в знаменателе (лимитирующей стадией является уже разрядионизация). Следовательно, только за счет увеликонцентрации амальгамы (примерно в .200 раз), при прочих равных условиях, произошел переход из диффузионной области в кине-

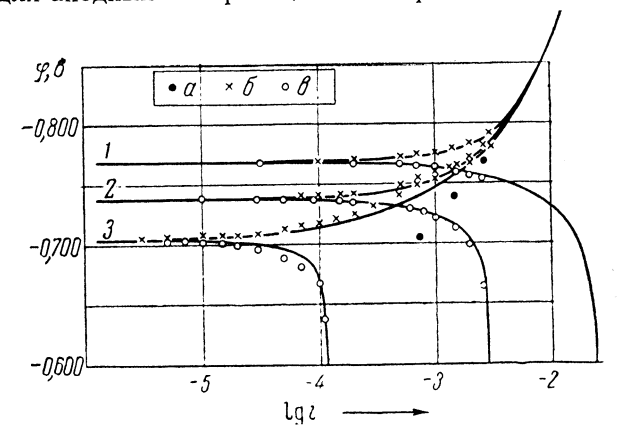


Рис. 4. Поляризационные кривые для различных концентраций амальгамы: $I-C_a$ =0,026 M Zn, $2-C_a$ =0,0029 M Zn, $3-C_a$ =0,00011 M Zn (C_p =0,025 M ZnSO4). a—ток обмена, b—точки катодной ветви поляризационной кривой, b—точки анодной ветви поляризационной кривой. Сплошные кривые рассчитаны по уравнению (3)

тическую. Этот эффект обусловлен различной зависимостью тока обмена и анодного предельного тока от концентрации амальгамы C_a : в то время, как предельный ток линейно зависит от C_a , ток обмена возрастает с увеличением C_a гораздо медленнее (уравнение (4) и рис. 1)*. Как явствует из полученных нами результатов, этот эффект может быть использован для такого подбора концентраций реагирующих веществ, при котором можно существенно уменьшить влияние диффузионной стадии на скорость быстрых электродных процессов, и в частности на измерение тока обмена.

Выражаем глубокую благодарность акад. А. Н. Фрумкину за ценные советы при обсуждении результатов данной работы.

Институт электрохимии Академии наук СССР Физико-химический институт им. Л. Я. Карпова

Поступило 29 IV 1958

ЦИТИРОВАННАЯ ЛИТЕРАТУРА

¹ А. Н. Фрумкин, В. С. Багоцкий, З. А. Иофа, Б. Н. Кабанов, Кинетика электродных процессов, М., 1952. ² В. В. Лосев, ДАН, 100, 111 (1955); Тр. Инст. физ. хим., в. 6, 20 (1957). ³ В. В. Лосев, А. М. Хопин, Тр. 4-го электрохимического совещания (в печати). ⁴ Н. Gerischer, Zs. phys. Chem., 202, 292, 302 (1953). ⁵ А. Г. Стромберг, ЖФХ, 29, 409 (1955). ⁶ Б. В. Эршлер, К. И. Розенталь, Тр. совещ. по электрохимии, 1953, стр. 446. ⁷ J. Е. В. Я п п d les, К. W. Somerton, Trans. Farad. Soc., 48, 951 (1952). ⁸ G. C. Вагкег, R. L. Faircloth, A. W. Gardner, Nature, 181, 247 (1958). ⁹ P. Delahay et al., J. Am. Chem. Soc., 75, 2486, 4205 (1953); 76, 874 (1954); 77, 6448 (1955). ¹⁰ H. Gerischer, Zs. Elektrochem., 59, 604 (1955); Zs. Phys. Chem., 10, 264 (1957). ¹¹ H. Gerischer, W. Vielstich, Zs. Phys. Chem., 3, 16 (1955); 4, 10 (1955). ¹² W. Vielstich, P. Delahay, J. Am. Chem. Soc., 79, 1874 (1957). ¹³ H. Б. Миллер, В. А. Плесков, ДАН, 74, 323 (1950); Тр. совещ. по электрохимии, 1953, стр. 165. ¹⁴ S. Froneus, Acta Chem. Scand., 7, 764 (1953); 8, 412, 961 (1954); 10, 490 (1956).

^{*} Подобное явление может, по-видимому, приводить к переходу от обратимых волн к необратимым при снятии анодных полярограмм на амальгамах $(^{15})$.